

Loops e Potenze di t

[18.6.2.1]

L'espansione in numero di loops equivale all'espansione in potenze di t .

\Rightarrow Il "livello albero" (zero loop) equivale al limite classico,

\Rightarrow Studiare effetti a 1 o più loop equivale a studiare effetti quantistici della teoria.

DIMOSTRAZIONE

det. Il "numero di loop" è definito come il numero di momenti indeterminati in un diagramma.

Dato un diagramma:

- ogni propagatore interno contribuisce con $\int d^4 k_i$
- ogni vertice con una $S^4(\sum k_i)$
- una $S^4(k_i - k_f)$ corrisponde alla conservazione del momento globale

$$\Rightarrow L = P - V + 1$$

L : # loop
 P : # propagatori interni
 V : # vertici

- Reintroducendo t nell'integrale sui cammini:

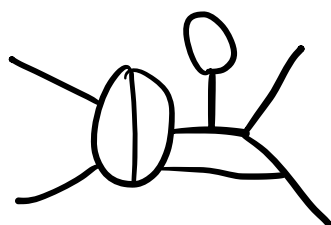
$$Z[J] = \int D\varphi e^{\frac{i}{t} (S[\varphi] + \langle J\varphi \rangle)}$$

- Ogni propagatore (interno o esterno) ha una potenza $D(x-y) \sim t^{-1}$ dato che è l'inverso del termine cinetico o dato che $[Q(x, t), T(y)] = i t \delta^3(x-y)$

- Ogni vertice è pesato da t^{-1} :

$$\exp\left(\frac{i}{t} \int d^4x \alpha_{\text{int}}\left(-i \frac{\delta}{\delta S}\right)\right)$$

- Dato un diagramma, la potenza in t



$$\sim t^D :$$

$$D = C + P - V \quad \downarrow L = P - V + 1$$

$$D = C + L - 1$$

\Rightarrow Fissata una funzione di Green (C "fissato") la potenza di t , D , cresce col nr. di loop L .

DIVERGENZA IN TEORIA DEI CAMPI [S. 15.4]

In genere, calcolando ampiezze ad ordini superiori in teoria delle perturbazioni, si incontrano DIVERGENZE.

Esempio

$$\mathcal{L} = \frac{1}{2} (\partial_r \phi)^2 - \frac{m^2}{2} \phi^2 - \frac{\lambda}{4!} \phi^4$$

Calcoliamo l'ampiezza di scattering $\phi\phi \rightarrow \phi\phi$.

LIVELLO ALBERO: Tutti i momenti nei propagatori interi, se presenti, sono fissati in termini dei momenti degli stati iniziali e finali.

$$iM_1 = \begin{array}{c} \diagup p_1 \\ \times \\ \diagdown p_2 \end{array} = -i\lambda$$

A UN LOOP: Adesso c'è un momento libero: k

$$iM_2 = \begin{array}{c} \diagup p_1 \\ \diagdown p_2 \\ \nearrow k \\ \curvearrowright \\ \text{p} = p_1 + p_2 \end{array} + \dots = (-i\lambda)^2 \underbrace{\frac{1}{2} \int \frac{d^4 k}{(2\pi)^4}}_{\text{fattore di simmetria}} \frac{i}{k^2 - m^2 + i\epsilon} \frac{i}{(p+k)^2 - m^2 + i\epsilon} + \dots$$

integrale del loop

$$\text{per } p \ll k \quad (|k_p| \gg |p_\mu|) \quad iM_2 \sim \lambda^2 \int \frac{d^4 k}{(2\pi)^4} \frac{1}{k^4} \sim \lambda^2 \int_0^\infty \frac{dk}{k} \sim \lambda^2 \log \Lambda$$

È divergente per $\Lambda \rightarrow \infty$.

• Come possiamo dar senso a questi calcoli?

\Rightarrow la soluzione sta nel fatto che i singoli diagrammi divergenti **NON SONO OSSERVABILI**.

Introduciamo quindi:

- un **REGOLATORE** (tipo Λ) che rende il conto finito
- una procedura per esprimere PREVISIONI in termini di altre osservabili (**RINORMALIZZAZIONE**)

Alla fine del conto si rimuove il regolatore ($\Lambda \rightarrow \infty$) ed il risultato deve esser **INDIPENDENTI** dal regolatore.

Calcoliamo iM_2 nel caso $m=0$ (ci sono anche diagrammi t, s)

$$iM_2 = \frac{\lambda^2}{2} \int \frac{d^4 k}{(2\pi)^4} \frac{1}{k^2 (p-k)^2} \quad \leftarrow \begin{array}{l} \text{è uno scalare quindi può} \\ \text{dipendere solo da } p^2 = S \end{array}$$

Ci aspettiamo $iM_2 \sim \lambda^2 \log \frac{S}{\lambda^2}$

Deriviamo in S per rimuovere la divergenza:

$$\frac{\partial}{\partial S} M_2(S) = \frac{p^\mu}{2S} \frac{\partial}{\partial p^\mu} M_2(S) = \frac{(-i)\lambda^2}{2S} p^\mu \int \frac{d^4 k}{(2\pi)^4} \frac{-(p-k)_\mu}{k^2 (p-k)^2} = \frac{i\lambda^2}{2S} \int \frac{d^4 k}{(2\pi)^4} \frac{(p^2 - p \cdot k)}{k^2 (p \cdot k)}$$

Vedremo in
seguito

$$\dots = -\frac{\lambda^2}{32\pi^2 S} \frac{1}{S}$$

$$\begin{aligned} & \int \frac{d^4 k}{(2\pi)^4} \frac{k^2 k^2}{k^6} = \int \frac{dk}{k^2} \\ & \text{e finito} \end{aligned}$$

$$\Rightarrow M_2 = -\frac{\lambda^2}{32\pi^2} \log s + c = -\frac{\lambda^2}{32\pi^2} \log \frac{s}{\lambda^2}$$

$c = \frac{\lambda^2}{16\pi^2} \log \lambda^2$

$$\Rightarrow M(s) = -\lambda - \frac{\lambda^2}{32\pi^2} \log \frac{s}{\lambda^2}$$

Abbiamo un risultato finito ma dipendente da λ .

\Rightarrow La differenza fra due $M(s)$ è FINITA

$$M(s_1) - M(s_2) = \frac{\lambda^2}{32\pi^2} \log \frac{s_2}{s_1}$$

Ma $\sigma \propto |M|^2$ è un'osservabile, quindi come dare un senso a $M(s)$?

- La presenza del logaritmo è un tipico effetto delle correzioni radiative.
Diagrammi a livello albero sono sempre solo polinomi razionali dei momenti, masse ed accoppiamenti.

\Rightarrow Cos'è " λ "?

l'accoppiamento $\mathcal{L} > \frac{\lambda}{4!} \phi^4$ parametrizzata per esempio la
forza dello scattering $\phi\phi \rightarrow \phi\phi$. Possiamo quindi pensare di misurare λ a partire dal
processo $\phi\phi \rightarrow \phi\phi$. Però questo non è solo proporzionale
a λ ma ha anche tutti i contributi radiativi (divergenti)

\Rightarrow DEFINIAMO l'accoppiamento RINORMALIZZATO λ_R

Come l'ampiezza $\phi\phi \rightarrow \phi\phi$ a una certa energia S_0 :

$$\lambda_R \equiv -M(S_0) = \lambda + \frac{\lambda^2}{32\pi^2} \log \frac{S_0}{\Lambda^2} + \dots$$

Risolviamo per λ :
da $\overset{\uparrow}{\text{da } \mathcal{M}(S_0)}$ $\Rightarrow \lambda_R$ è finito $\Rightarrow \lambda$ è infinito
per compensare $\log \lambda^2$

$$\Rightarrow \lambda = \lambda_R + a \lambda_R^2 + \dots$$

$$\lambda_R = (\lambda_R + a \lambda_R^2 + \dots) + \frac{(\lambda_R + a \lambda_R^2 + \dots)^2}{32\pi^2} \log \frac{S_0}{\Lambda^2}$$

$$= \lambda_R + a \lambda_R^2 + \frac{\lambda_R^2}{32\pi^2} \log \frac{S_0}{\Lambda^2} \Rightarrow a = -\frac{1}{32\pi^2} \log \frac{S_0}{\Lambda^2}$$

$$\boxed{\lambda = \lambda_R - \frac{\lambda_R^2}{32\pi^2} \log \frac{S_0}{\Lambda^2} + O(\lambda_R^3)}$$

Esprimiamo ora l'ampiezza $M(s)$ in termini di λ_R
 (ottenuto da $M(s_0)$)

$$M(s) = -\lambda - \frac{\lambda^2}{32\pi^2} \log \frac{s}{\lambda^2} = -\lambda_R + \frac{\lambda_R^2}{32\pi^2} \log \frac{s_0}{\lambda^2} - \frac{\lambda_R^2}{32\pi^2} \log \frac{s}{\lambda^2} + \dots =$$

$$M(s) = -\lambda_R - \frac{\lambda_R^2}{32\pi^2} \log \frac{s}{s_0}$$

⇒ Possiamo **PREDIRE** $M(s)$ a altre energie partendo
 da una misura fatta a s_0 .

Questa procedura per esprimere ampiezze in termini
 di parametri (accoppiamenti, campi, masse) definiti a partire
 da osservabili fisiche è chiamata **RINORMALIZZAZIONE**
 con uno schema **ON-SHELL**.

Una teoria che ha bisogno di un numero finito di
 osservabili per riassorbire tutte le divergenze in tutte
 le altre predizioni, è chiamata **RINORMALIZZABILE**.

Se, invece, occorre un numero infinito di osservabili,
 la teoria è non-rinormalizzabile.

METODI PCR REGOLARIZZARE DIVERGENZE UV

Ci sono diversi metodi per regolare divergenze UV.
 E' importante considerare quali sono le simmetrie rotte dal regolatore.

- **CUTOFF:** $|K_E| < \Lambda \Leftrightarrow \sqrt{(k^0)^2 + \sum (k^i)^2} < \Lambda$

$$\int \frac{d^4 k_E}{(2\pi)^4} \rightarrow \int \frac{d^4 k}{(2\pi)^4}$$

L'integrale sul momento di loop viene limitato a valori più piccoli di una certa scala Λ . Poi si prende il limite $\Lambda \rightarrow \infty$.

+ c'è molto intuitivo

- Rompe sia simm. di Lorentz (boost) che di gauge.

- **PAULI - VILLARS**

Ad ogni particella di massa m se ne aggiunge una analoga "fantasma" di massa Λ e di statistica opposta \Rightarrow segno opposto nel contributo a un loop.

E.g.

$$\int \frac{d^4 k}{(2\pi)^4} \frac{1}{(k^2 - m^2 + i\epsilon)^2} \rightarrow \int \frac{d^4 k}{(2\pi)^4} \left(\frac{1}{(k^2 - m^2 + i\epsilon)^2} - \frac{1}{(k^2 - \Lambda^2 + i\epsilon)^2} \right) = \dots = -\frac{i}{16\pi^2} \log \frac{m^2}{\Lambda^2}$$

- + C'è una chiara deformazione della teoria nell'ultravioletto
- Richiede di aggiungere finte particelle in diagrammi a multi-loop
- Un termine di massa per un vettore rompe la simmetria di gauge

• REGOLARIZZAZIONE DIMENSIONALE (dim-reg) [S.B.3]

C'è il metodo di gran lunga più utilizzato, introdotto da 't Hooft e Veltman nel 1972.

Generalizziamo il numero di dimensioni dello spazio-tempo da $4 \Rightarrow d \in \mathbb{C}$ continuazione analitica

$$\int \frac{d^d k}{(2\pi)^d} \frac{1}{(k^2 - M^2 + i\epsilon)^2} \Rightarrow \int \frac{d^d k}{(2\pi)^d} \int_0^\infty dk \frac{k^{d-1}}{(k^2 - M^2 + i\epsilon)^2} \xrightarrow{\text{UV}} \int_0^\infty dk \frac{k^{d-1}}{k^4}$$

diverge solo per $d \geq 4$.

Prendiamo quindi $d = 4 - \epsilon$, con $\epsilon > 0$.

Tutti gli integrali di loop diventano finiti, la divergenza corrisponde ad un pdi $\frac{1}{\epsilon}$ per $\epsilon \rightarrow 0$.

- + Preserva tutte le simmetrie della teoria,
- + Applicabile a calcoli multi-loop,
- Meno intuitivo degli altri metodi.

CONTAGGIO DELLE DIVERGENZE ULTRAVIOLETTE

[PS. 10.1, S. 21]

Vogliamo capire quali diagrammi di Feynman sono divergenti e quali no.

Cominciamo considerando la QCD.

Un diagramma qualsiasi sarà caratterizzato da

N_e - elettroni esterni

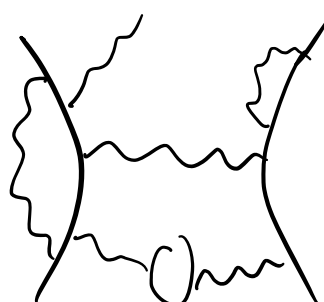
N_γ - fotoni esterni

$P_{e,\gamma}$ - propagatori fermionici / fotonicci

V - numero di vertici

L - numero di loop

Un diagramma qualsiasi avrà:



$$\sim \frac{\int d^4 k_1 \dots d^4 k_L}{(k_i - m) \dots k_j^2 \dots k_n^2}$$

Ogni loop porta un $\int d^4 k \sim k^4$ come divergenza UV

Ogni propagatore fermionico $\sim \frac{1}{k}$
" fotonicco $\sim \frac{1}{k^2}$

\Rightarrow Il diagramma diverge se, mettendo tutto insieme, il diagramma va con una potenza non-negativa di k .

Definiamo il GRADO DI DIVERGENZA SUPERFICIALE

$$D = (\text{potenze di } k \text{ al numeratore}) - (\text{potenze di } k \text{ al denominatore}) =$$

$$D = 4L - P_e - 2P_r$$

Naivamente:

\Rightarrow Il diagramma diverge come Λ^D , Λ : cutoff

Nota che Λ^0 corrisponde a $\log \Lambda$ ($\int_0^\Lambda \frac{dk}{k} \sim \log \Lambda$)

Il diagramma è finito se $D < 0$.

In realtà, i diagrammi a livello albero hanno

$D=0$ ma sono finiti,

alcuni diagrammi possono avere un sotto-diagramma divergente anche se il diagramma complessivo ha

$D < 0$.

Possiamo però ridurci a diagrammi con le linee esterne amputate, e di tipo 1PI (irriducibili a 1 particella), dato che tutti i diagrammi connetti sono formati da un albero di diagrammi 1PI.

Notiamo che $L = P_e + P_\gamma - V + 1$

\Rightarrow Ogni propagatore ha un S^{qK} , ogni vertice una $S^q(\cdot)$ ed una $S^q(\cdot)$ è la conservazione del momento globale.

Inoltre: $V = 2P_\gamma + N_\gamma = \frac{1}{2}(2P_e + N_e)$

dato che i vertici sono \rightarrow e propagatori sono collegati a 2 vertici.

$$\Rightarrow D = 4(P_e + P_\gamma - V + 1) - P_e - 2P_\gamma =$$

$$D = 4 - N_\gamma - \frac{3}{2}N_e$$

Un numero limitato di diagrammi ha $D \geq 0$:

$$D = 4$$

Diag. Vuoto-Vuoto
Si cancella in $F[0]$

$$D = 3$$

\Downarrow per Lorentz

$$D = 2$$

$\cancel{\text{ }} \rightarrow (g^2 q^2 - q^2 q^0) / \log \Lambda$
Sono divergenti
logaritmicamente

$$D = 1$$

Teorema di Furry
(per coniugazione di carica)

$$D = 0$$

La parte div. è nulla
per id. di Ward

$$D = 1$$

$$\sim A \propto \log \Lambda + B \ln \log \Lambda$$

$$D = 0 \quad \sim \log \Lambda$$

Date le simmetrie della QCD, solamente 3 hanno divergenze rilevanti alla fenomenologia, e sono divergenze logaritmiche, mentre un quarto diagramma divergente è l'energia del vuoto.

→ Una volta regolarizzati queste poche ampiezze, tutte le altre daranno risultati FINITI.

Nota che il nr. di diagrammi divergenti è molto più alto e aumenta ad ogni ordine in th. delle perturbazioni.

POSSIAMO CLASSIFICARE LE TEORIE IN:

- **TEORIE SUPER-RINORMALIZZABILI**

Un numero finito di diagrammi di Feynman è divergente.

- **TEORIE RINORMALIZZABILI**

Un numero finito di ampiezze sono superficialmente divergenti

- **TEORIE NON-RINORMALIZZABILI**

Tutte le ampiezze sono divergenti se andiamo ad un ordine sufficientemente alto in teoria delle perturbazioni.

Consideriamo la teoria di uno scalare
in d dimensioni dello spazio-tempo, con lagrangiana:

$$\mathcal{L} = \frac{1}{2} (\partial_\mu \phi)^2 - \frac{1}{2} m^2 \phi^2 - \frac{g}{u!} \phi^u$$

$$\begin{cases} L = P - V + 1 \\ uV = N + 2P \end{cases}$$

L : # loop

P : # propagatori

V : # vertici

N : # galutre esterne

$$D = dL - 2P = d + \left[u\left(\frac{d-2}{2}\right) - d \right] V - \left(\frac{d-2}{2}\right) N$$

- $d=4$ e $u=4$: $D = 4 - N$ rinormalizzabile
- $d=4$ e $u=6$: $D = 4 - N + 2V$ non-rinormalizzabile
- $d=4$ e $u > 4$: non-rinormalizzabile
- $d=3$ e $u=6$: $D = 3 - \frac{N}{2}$ rinormalizzabile
- $d=3$ e $u=5$: $D = 3 - \frac{N}{2} - V$ super-rinormalizzabile

\Rightarrow Per essere rinormalizzabile è necessario che

$$u\left(\frac{d-2}{2}\right) - d \leq 0$$

Questo corrisponde alla richiesta che l'accoppiamento g abbia dimensioni in energia (\cdot^Δ) con $\Delta \geq 0$.

SCALING CON L'ENERGIA

Dato un termine X che scala come E^Δ
 definiamo: $[X] \equiv \Delta$

L'azione è adimensionale (scala come t): $[S]=0$.

Dato $[d^d x] = -d$ e $S = \int d^d x \mathcal{L} \Rightarrow [\mathcal{L}] = d$.

Dal termine cinetico:

$$[\frac{1}{2} (\partial_\mu \phi)^2] = 2 + 2 [\phi] = d \rightarrow [\phi] = \frac{d-2}{2} \quad [\phi] = 1 \text{ in } d=4$$

Prendiamo l'interazione:

$$[\lambda \phi^n] = [\lambda] + n [\phi] = [\lambda] + n \frac{(d-2)}{2} \equiv d$$

$$[\lambda] = d - n \left(\frac{d-2}{2} \right)$$

Quindi λ è adimensionale per $d=4$ e $n=4$

Il grado di divergenza superficiale è quindi

$$D = d - [\lambda] V - \left(\frac{d-2}{2} \right) N$$

\Rightarrow La teoria è rinormalizzabile per $[\lambda] \geq 0$

Questo è generalizzabile per particelle ed accoppiamenti qualsiasi. Per $d=4$: [Se.3.1]

N_f : # gambe esterne di un campo di spin S_f

V_i : # vertici con accoppiamento g_i , del tipo

$$\mathcal{L} \supset g_i \partial^{d_i} \prod_f \phi_f^{n_{if}}$$

$$[g_i] = 4 - d_i - \sum_f n_{if} (S_f + 1) \Rightarrow \text{dimensione dell'accoppiamento } g_i$$

$$D = 4 - \sum_f N_f (S_f + 1) - \sum_i V_i [g_i]$$

- Se tutti i $[g_i] > 0 \Rightarrow$ la teoria è SUPER-RINORMALIZZABILE
- Se tutti i $[g_i] \geq 0 \Rightarrow$ la teoria è RINORMALIZZABILE
- Se anche un solo $[g_i] < 0 \Rightarrow$ NON RINORMALIZZABILE